

Vysoký štítka stříbrný s českou a československou

rovnoramennou hvězdou

českého stylu

číslo 23-17-5

českým národním symbolem

českými barvami

českou hrad a plzeňských hradů

českou hrad a plzeňských hradů

~~SYKOPÉ VÝROBY PRO UPRACOVÁVÁNÍ HORNIN
ALLEGÁČÍHO LAVRY ČESKÝCH PŘED
TERRITRIU UPRACOVÁVÁNÍ STARÝS ŠTAKL
ZDĚN ALLEGÁČÍHO LAVRY LTB. PRAGA
STROJ. K. F. T. NOVÝ LÍSEK NAP. M. 2221
22. 3. 1952/53~~

22. 3. 1952/53

číslo 20740

Vedenec průšvih Dr. Ing. Janoušek František, Československý výrobce

Kontrolor průšvih Dr. Ing. Bohumil Novák, Československý výrobce

Dr. Ing. Bohumil Novák, Československý výrobce

~~ROZLOHA PRŮŠVIGH 0,0024 m²~~

Pohled zvenku:

41

Pohled vnitřek a venkovní:

38

Pohled otočený:

7

Pohled vpravo:

1

KPT/TP

DR. 621.791

22.3.1952

Vysoká škola:
Fakulta:
.....

Katedra:
.....

Školní rok:
.....

DIPLOMOVÝ ÚKOL

pro
obor

Protože jste splnil..... požadavky učebního plánu, zadává Vám vedoucí katedry ve smyslu směrnic ministerstva školství a kultury o státních závěrečných zkouškách tento diplomový úkol:

Název tématu:
.....
.....
.....

Pokyny pro vypracování:

Fakulta pro vzdělávání a výzkum
VŠB pro státní závěrečné zkoušky
1982/83, 2. ročník, obor
1982/VZEN/AV/1982/83, stud. zař.
dne 31.8.1982/83 sítka č. 1007

VYSOKÁ ŠKOLA STROJÍRSTVIA A TEXTILNÉ
Ostřední učebna
LIBEREC 1, STUDIJNÝ R. 5
PSČ 461 17

Vysoká škola:
Fakulta:
Katedra:
Školní rok:

DIPLOMOVÝ ÚKOL

pro
obor
.....

Protože jste splnil.... požadavky učebního plánu, zadává Vám vedoucí katedry ve smyslu směrnic ministerstva školství a kultury o státních závěrečných zkouškách tento diplomový úkol:

Název tématu:
.....
.....
.....

Pokyny pro vypracování:

1. Pojďte do kanceláře vedoucího katedry a vložte svůj projekt do schránky s nápisem "Diplomový úkol".
2. Pojďte do kanceláře vedoucího katedry a vložte svůj projekt do schránky s nápisem "Diplomový úkol".
3. Pojďte do kanceláře vedoucího katedry a vložte svůj projekt do schránky s nápisem "Diplomový úkol".
4. Pojďte do kanceláře vedoucího katedry a vložte svůj projekt do schránky s nápisem "Diplomový úkol".

Autorické pravo na využití téma
DÚK pro státní zkoušky je již
zajisteno, že je vydáno v roce
1992 Věstník MŠMT ČR, číslo 24 ze
dne 31.8.1992 s číslem

140/1992
VYSOKÁ ŠKOLA STROJNÍ A TEKSTILNÍ
Ústřední knihovna
LIBEREC 1, STUD. NÍČKA 5
PSČ 461 17

Vysoká škola: akademická vzdělávání

Katedra: strojní a textilní inženýrství

Fakulta: strojní inženýrství

Školní rok: 1997/1998

DIPLOMOVÝ ÚKOL

pro ř. 2. semestr
obor strojírenského inženýrství

Protože jste splnil požadavky učebního plánu, zadává Vám vedoucí katedry ve smyslu směrnic ministerstva školství a kultury o státních závěrečných zkouškách tento diplomový úkol:

Název tématu: "Závodní studie pro výrobu výrobkových mechanizmů
na přídavek s číslicemi na výrobě zpracování materiálů
a výrobení a zkušení s novou výrobou v ZBI využívajícího
výrobní město nad neštěstí".

Pokyny pro vypracování:

1. Nezajistete se smlouvností s člověkem, kdo vás vyučuje.
2. U výkonu výroby provádějte všechny odhalování a vložení výrobků výroby.
3. Výrobky po provedení podle výroby provádějte návody k výrobeni
po použití výroby výrobce výrobku využívajícího výrobu.
4. Zpracování důsledků výsledků výroby zpravidla využívajícího výrobu
používajícího výrobce výrobku využívajícího výrobu.

V 16.09.98

Autorské právo: akademická vzdělávání
IHK pro státní inženýrství, ř. 21
761/98, 1. ročník, vydání 10
1992/Včetně (VÚK) VVII, snímk 24 ze
dne 31.8.1992 § 19 aut.z.č. 1775

VYSOKÁ ŠKOLA STROJNÍ A TEXTILNÍ
Ostřední knihovna
LIBEREC 1, STUD. MÍSTKA 5
PSČ 461 17

Vysoká škola: strojní a textilní
Fakulta: strojní

Katedra: tvářená a plastika
Školní rok: 1981/82

DIPLOMOVÝ ÚKOL

pro s. Jana Tordyli
obor strojírenská technologie

Protože jste splnil požadavky učebního plánu, zadává Vám vedoucí katedry ve smyslu směrnic ministerstva školství a kultury o státních závěrečných zkouškách tento diplomový úkol:

Název tématu: " Úvodní studie pro vypracování realizaci návrhu směrnice pro tepelné zpracování svárik v stavění a zemních strojů v ZPE Stavostroj n.p. v Novém Městě nad Metují".

Pokyny pro vypracování:

1. Pečlivě se seznamate se s současným stavem výroby svárik v ZPE Stavostroj.
2. U vybraných svárik provedte růzboř celkového konstrukčního řešení a technologie svářování.
3. A dále dle na provozní podmínky svárik provedte návrh metodiky pro posouzení zda svarit je nutno podrobít tepelnému zpracování nebo svářování.
4. Zhodnotte dosažené výsledky a stanovte zásady pro vypracování realizaci směrnice pro tepelné zpracování svárik.

Autorské právo je vlastnictvím
MŠK pro státní vzdělávání, č.j. 31
717/62, vydáno 1. 1. 1982, vydáno
1982 Věstník MŠK XVIII, sestř 24 ze
dne 31.8.1982 § 19 čl. č. 177/1981

VYSOKÁ ŠKOLA STROJNÍ A TEXTILNÍ
Ústřední knihovna
LIBEREC 1, STUDENTSKÁ 5
PSČ 461 17

Rozsah grafických prací:

40-50 stran výtisků výkresů vybraných svarů,
sopřádky, grafu a tabulek.

Rozsah průvodní zprávy:

Seznam odborné literatury:

1. CHVALÍK, R., V.: Konstrukčně technologické projektovaní svářovaných konstrukcí. STNL, Praha 1971.
2. FILIUS, V.: Konstruktor a tavné svářevání ocelí. STNL, Praha 1964
3. TALELJOV, A., I.: Svaročnye deformacii i napravlenija. Mašinostroenie, Leningrad 1973.
4. PRVÝK, J.: Zvaritelnost ocelí. ALFA/VITEL, Bratislava 1970
5. - ČSN 05 1125 - Zvaranie, Skúška režom v ohľade zvarových spojov ocelí.

Vedoucí diplomové práce: Ing. H. Neumann

Konsultanti:
s. Jaroslav Kovotný, ZPU Stavebnost
Nové Město n. Metují

Datum zadání diplomového úkolu: 6.10.1980.

Termín odevzdání diplomové práce: 22.5.1981.



Doc. Ing. J. Kovotný, CSc.
Vedoucí katedry

Doc. Ing. Ph. J. Neumann, CSc.
Dekan

v Liberec dne 0.10.1980.
19

Mistopřírodní prohlašuji, že jsem diplomovou práci
vypracoval samostatně a použitím uvedené literatury.

v Liberci dne 22. května 1981

Jan Šír

OBSAH	STRANA
Seznam použitých symbolů a zkratok	5
1. ÚVOD	6
2. TEORETICKÁ ČASŤ	8
2.1.Vliv dynamického namáhání na běhoun	8
2.2.Vliv teploty na svary	9
2.3.Vliv pravoučného prostředí na svary	10
2.4.Rozbor konstrukčního řešení	12
2.4.1.Konstrukční řešení běhoune	12
2.4.2.Výběr materiálu	13
2.4.3.Výběr svařových spojů	16
2.4.4.Výběr rozmerů a tolerancí	18
2.4.5.Výběr tepelného spracování	19
2.5.Rozbor technologie výroby	20
2.5.1.Technologický postup	20
2.5.2.Výběr spádcebu svařování	21
2.5.3.Vliv svařovacích parametrů	25
2.5.4.Příprava svařových ploch	27
3. EXPERIMENTALNÍ ČASŤ	28
3.1.Metodika pro posudzení měkkosti tepelného spracování	28
3.1.1.Měření soustati nábojů běhoune	28
3.1.2.Měření hrubovitosti nábojů běhoune	29

3.1.3. Měření kruhovitosti pláště běhoum	30
3.1.3.1. Měření kruhovitosti pláště nevykluhaných běhoum	31
3.1.3.2. Měření kruhovitosti pláště vykluhaných běhoum	32
3.1.4. Měření podélných nerovností pláště běhoum	33
3.1.4.1. Měření podélných nerovností pláště nevykluhaných běhoum	33
3.1.4.2. Měření podélných nerovností pláště vykluhaných běhoum	34
3.1.5. Měření vzdálenosti řel běhoum	35
3.1.5.1. Měření vzdálenosti řel u pláště běhoum	35
3.1.5.2. Měření vzdálenosti řel u závěrky běhoum	36
4. REALIZACE SYSTÉMŮ PRO MĚŘENÍ SVAROVANÝCH KONSTRUKCIÍ	37
5. ZÁVĚR	39
6. Použitá literatura	40
7. Seznam příloh	41

Sesama použitych symbolů a zkratek

A.....	uhlopříčka.....	/ s /
I.....	poměr.....	/ Δ /
K.....	typickost.....	-
KC.....	uhlovitá houzelnost.....	/ J cm ⁻² /
Q.....	tepelná aktivnost.....	/ kJ mm ⁻³ /
R _g	res. kluzná.....	/ MPa /
R _g	res. pevnost v tahu.....	/ MPa /
U.....	napětí.....	/ V /
V.....	průměrná rychlosť.....	/ m s ⁻¹ /

1. Úvod

Jestliže celý strojírenský průmysl v naší vlasti je podřízen zákonu prudké vzestupné výrobní tendencii, vyvolává tento průmysl vývoj techniky i všech požadavků smělosti, jaké i rozvoje pokrokových technologií, mezi které je třeba zařadit i využívání strojírenské výrobní technologií mohoucí svařování stále většího významu.

pojem energetického důvodu a pojem tepelného spracování
po využití, kterým byly základní. Základ spracování po využití
je v některých případech pravidl, jindy je od něj upustit a roz-
hodnutí pro pravidlo může být s prací, možno druhou, jed-
nodušší a levnější alternativou. Je třeba především dlejdou dle-
kusi. Jak je zde uvedeno v literatuře otevřenek hospodářského a ener-
getického rozvoje ČSSR na léta 1981-1985, je třeba věnovat mino-
řadnou pozornost souhlu s otázkou cílových programů reakto-
rům specifické paliv a energie opatření, zaměřený na využív-
ní energeticky důvěrnějších technologií.

Cílem této diplomové práce je posouzení, zda je nutno sva-
řované konstrukce stavebních a němich strojů národního podni-
ku ZTS Stavostroj v Novém Městě nad Metují tepelně zpracovávat
nebo ne a vypracování realisabilních měřnic pro navrhování sva-
řovaných konstrukcí bez náležitého tepelného zpracování. Jako
svářovaná konstrukce mi byl vybrán běhoun vibračního válce
VV 100, jehož konstrukční provedení je podobné jako běhoun
dalších pěnových strojů vyráběných v národním podniku ZTS
Stavostroj. U běhounů se používá tepelné zpracování s využi-
váním z tepla dýryka, protože po svářování následuje vlnovnické
obrobení pláště a zábojů běhounu a při konětném vlnovnickém vibrač-
ním válci najde vlivem deformací, které nám vzniknou po svá-
ření.

rování a po obrubení nevyžívaných běhounů, do běhounů nasunout vibrační čep. Vibrační válec VV 100 je samopojízdný závitňovací stroj, vhodný pro hmotní většinu novozávazkých zemin a zrnitých materiálů do tloušťky vrstvy 1 m.

Za rok se vibračních válců VV 100 v národním podniku Stavstroj výrobí 80 kusů. Je reálný předpoklad, že by se říhání k odstranění vnitřních pnutí nemuselo provádět, což by znamenalo snížení jeho výrobní ceny.

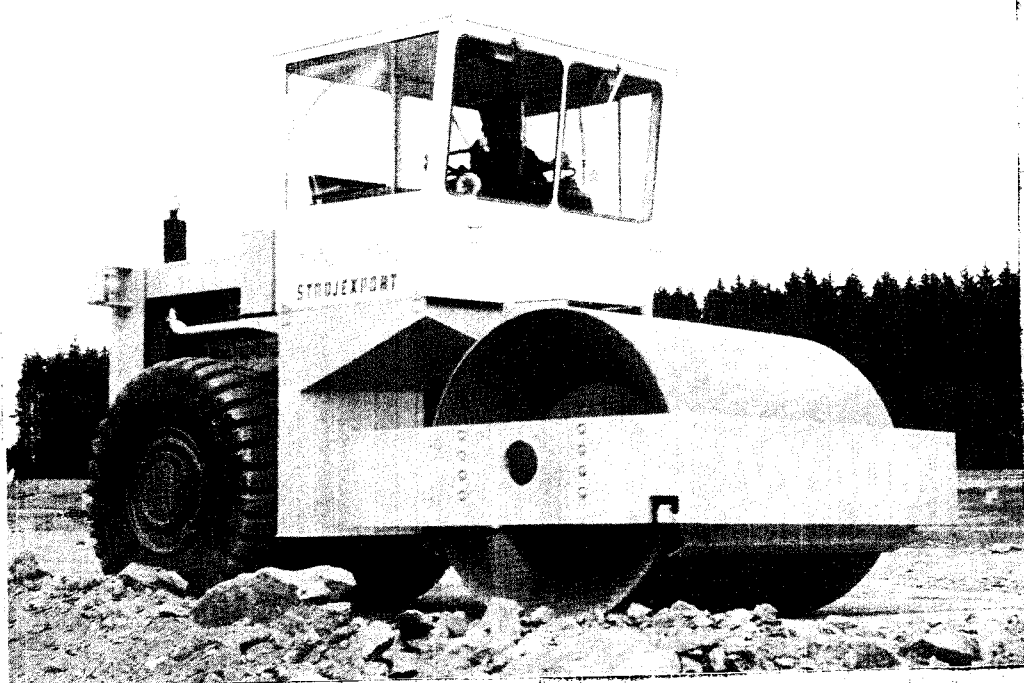
2. TEORETICKÁ ČÁST

Jedete než začne konstruktér navrhovat svařovanou konstrukci, musí vařit v úvahu provozní podmínky, za jakých bude daná svařovaná konstrukce pracovat. U běhuva vibracního válce VV 100 to budou hlavně vliv dynamického namáhání, provoz ze nízkých teplot a vliv okolního prostředí na svaru, ale i celé svařované konstrukci.

2.1. Vliv dynamického namáhání na svarou

Při práci vibracního válce VV 100 / obr. č. 1 / , je během dynamicky namáhaní především kruhovou vibrací, která je v roz-

obr. č. 1



si frekvence / 18-39 / Hz. Mluvíme tedy, že na běhuva především cyklické namáhání. Při působení cyklického namáhání na svařový spaj, mohou ve svaru vznikat lamy při daleko nižších napětích,

než by vznikly při statickém namáhání. Z toho vyplývá, že cyklické namáhání svařovacího spoje je mnohem nebezpečnejší, než pouhé statické namáhání.

Cyklické namáhání svařovaných konstrukcí je spojeno s hmitovou pevností svařovacích spojů a konstrukcí. Ve svařovaných konstrukcích je hmitová pevnost svařovacích spojů závislá především na vlastnostech materiálu v okolí svaru. Hmitovou pevnost zvláště ovlivňuje snytková pružina, která vznikají při svařování a koncentruje napětí svařované konstrukce. Hmitovou pevnost také podstatně ovlivňuje technologie výroby svařované konstrukce, ale i tepelné opracování po svařování. Na běhu se pevnostním zlepšení k odstraňení vnitřního pružin, které nám sice snižují snytková pružina ve svařované konstrukci, ale také se nám snižuje možnost klusu a možnosti sekundárního materiálu, ale i dynamickou únosnost svařovacích spojů a jejich možností.

Na možnost svařovacího spoje mají všechny velký vliv i další faktory, jako tvar, rozměr a kvalita povrchu svaru, strukturní nehomogenita, technologie svařování, neelasticitet a elasty ve svařovém spoji a mnoho dalších.

2.2. Vliv teploty na svary

Vibrátní vlnec VV 100 je konstruován pro provoz v rozmezí teplot / -20 + 50 / C. Protože při nízkých teplotách materiál mrazí, může vznikat nebezpečí mrazkového lomu.

Vliv svařovacích pružin na mrazkové porušení svařované konstrukce závisí na správné výrobě svařovaných konstrukcí, jmenovitě na jejich tepelném upravení po svařování. Protože se během svařuje při teplotě šroubu 20°C, kdy svařovaná nízkouhlíková a níkolegovaná ocel je v oblasti houževnatých lomů, není

nutný přechodový. Materiál svařovaných konstrukcí přechází do křehkého lomu až za provozu a hodnoty sbytkových prutů odpovídají hodnotám při normální teplotě. Je-li provozní teplota konstrukce nižší než přechodová teplota, sníží se sbytková pružina, působící ve stejném směru, jako provozní napětí, nutná únosnost svařované konstrukce. Je-li provozní teplota vyšší než přechodová, namusí sbytkové pruty ovlivnit únosnost svařované konstrukce.

2.3. Vliv provozního prostředí na svary

Vibracní válec se používá pro hutnické svarin, to znásobí, že pracuje ve vlnách, proto svary, ale i celé svařované konstrukce korodují. Odolnost určitého materiálu proti korozi je určena především jeho vlastnostmi. Někdy se může stát, že se určitých podmínek vlna soudívají neporušené i takové materiály, jenž jsou snadno korodují. Protože národní podnik Stavostroj využívá své výrobky prakticky do celého světa, bude vliv koroze v různých zeměpisných oblastech jiný. Tak např. ocel vystavena dějinami suché atmosféry, která se vykypuje v Egyptě nebo v Indii, může vydržet viditelné poruchy mnoho století, ačkoliv za běžných podmínek má malou odolnost proti korozi. Průběh koroze je tedy ovlivňován povahou prostředí, ve kterém výrobek pracuje. Povaha prostředí je určena nejen chemickými vlastnostmi, ale i způsobem, jakým přichází do styku s výrobkem. Největší vliv na korozi běhoucích bude mít atmosférická koroze.

Připojoucí-li k atmosférickým dílům prostředí národní strojírny nebo opravovacímu zařízení / cel je v případě běhoucích / , může se zřetelně snížit možnost koreduvaného materiálu. Problém - li koroze materiálu současně se střídavým nebo opakovacím

namáháním, naštává dřava za současnou koroze. Snížení meze dřavy je v tomto případě mnohem větší, než když koroze a namáhání působily oddílně, neboť oba případy se skládají. Stříďavé nebo opakování namáhání podporuje účinek koroze tím, že zabrání vytvoření ochranné vrstvy. Zhoršení jakosti povrchu, zavíjené koroze, nás snížuje mezu dřavy. Odolnost proti dřavě materiálu nebo svarového spoje nám bleská se variující korozivností prostředí.

Tepelné spracování nám může ovlivnit mechanické vlastnosti svařované konstrukce, ale na vliv koroze nemá prakticky žádat vliv. Odolnost proti dřavě ze současné koroze závisí hlavně, o jakou rychlostí se tvorí ochranná vrstva kysličníku na kovovém povrchu při styku s korozivním prostředím. Vytvoří-li se za daných podmínek ochranná vrstva kysličníku na kovovém povrchu, bude se při střídavém nebo opakování namáhání neustále prodlužovat a silovat, začne nám snadno odpolykat. Při tom se bude vytrájet nová ochranná vrstva, takže výsledné chování materiálu bude záviset na tom, jak rychle se nám bude koroze rozšiřovat. Bude-li ochranná vrstva kysličníku oprýskávat často, bude se podstatně snížovat mezu dřavy. Proto budeme chtít, aby se nám kysličníková vrstva na povrchu pořušovala co nejméně.

2.4. ROZBOR KONSTRUKČNÍHO ŘEŠENÍ

2.4.1. Konstrukční návrh běhounu

Běhoun vibracího válce VV 100 je velkoreměrová pláštová svařovaná konstrukce. Skládá se z jednotlivých konstrukčních prvků, jejichž úkolem je buď plevelstí a přenosení zatížení, působící na konstrukci, nebo zajistit prostorovou stabilitu běhounu.

Hlavní konstrukční částí je plášt, ke kterému jsou přivázena 2 čela s náboji a 2 kužely. Ty mají za funkci vystupovat vence pláště. Kuželi jsou z jedné strany privázeny k pláště, z druhé strany k čelům běhounu. Jako výstupka plně mohou usporávat, protože evar má nábojem a čelem běhounu přenáší všechna namítnutí. prototože kužel je privázen z obou stran, bude namítnutí na tak, že mohou vychýlovat čela běhounu i s náboji směrem ven z běhounu a také konec pláště bude namíhat na cílky směrem dolů. Když budou se vymotají časti skloňat. Jsou vyrobeny ze dvou plechových dílů, které se skruží a potom se k sobě priváží. Použitou kuželou se často stává, že negativním a pláštěm je buď příliš velká rozdíl, nebo kužel přečním ven mimo pláště a má s ním se zabrušovat.

Návrh konstrukce z hlediska přístupnosti svářeců ke svarovině je vyhovující, mohou svalit mít ke každému svaru dobrý přístup a má dostatek místa.

Z hlediska tloušťky svařovaného plechu se nedá jednoznačně říci, kdy je vhodné tepelné zpracování a kdy je skrytý pláští vhodný, že tím je větší tloušťka plechu, tím obvykle je větší potřeba tepelného zpracování. Slabé plechy se nemusí většinou tepelně zpracovávat žádat o pro ostřenání uvnitřních prutů po

svarení, protože ty se mohou deformovat a platí zásada, že čím větší deformace, tím méně svařových prostí. V případě běhoucí vlny konstruktéři předepsali velice malé tolerance a tloušťka plechů je poměrně malá, proto mohou docházet k deformacím a tím i nesplnění předepsaných tolerancí.

2.4.2. Volba materiálu

Základní důležitost z hlediska tepelného zpracování svařovacích konstrukcí má volba základního materiálu. Při volbě materiálu jednotlivých součástí běhoumu se musí řešit pevnostní hledisko a ohledem na srovnatelnost oceli, ale i její další specifické vlastnosti. Volba materiálu by se těž měla řídit podmínky, kladené na svařovanou konstrukci, vyplývající z provozních podmínek. Vlastnosti základního materiálu, zjištěvané prostými zkouškami na tah, tlak, otvory apod. neurčují jenom jeho vhodnost pro použití na svařované konstrukce. Může bytém předem vědět, jakými technologickými procesy byly získány jeho vlastnosti a několik se mohou měnit vlivem svařování. Je-li vlastnosti materiálu dosaženo souběhem tepelným zpracováním, dá se předpokládat, že jejich stálost bude svařováním porušena. Aby bylo možno stanovit, jak se budou měnit vlastnosti materiálu během výroby svařované konstrukce, je třeba znát především jeho chemické složení.

Materiál je během svařování tepelně i mechanicky ovlivněn. V různých oblastech základního materiálu v okolí svaru dochází proto ke změnám chemického složení, struktury, ale i mechanických vlastností. Materiál svařovaných konstrukcí se potom liší v oblasti svařových spojů od základního materiálu. Proto při volbě materiálu musíme uvažovat nejen jeho výchozí vlast-

nastí, ale i ty, kterých nabývá v procesu svařování.

Při tavném způsobu svařování je základní materiál ohříván na teplotu tání. Je známo, že mezi klusu materiálu při ohřevu klesá a při určité teplotě T_c je rovna 0. To znamená, že materiál přestává být pružný a stává se plastickým. V oblastech základního materiálu, ohřátých nad teplotu T_c , dochází k plastické deformaci v tlaku, jejíž velikost je dána rozdílem teplot $T_{max} - T_c$ a součinitelem teplotní rostlinnosti. Mimo plastických deformací, vyvolaných ohřevem materiálu nad teplotu T_c , vznikají plastické deformace, vyvolané napětím, vznikajícím v různých chemických ohřevu či chladnutí. Vznik plastických deformací je spojen s vytvořením určitého stavu napjatosti ve svařované konstrukci. Proto svařováním vznikne zbytková pružnost a změní se tedy mechanické vlastnosti materiálu v teplém ovlivněné oblasti. Svařování tak ovlivňuje kovy, u kterých dochází ke strukturálním změnám / vznik a rozpad austenitu / při teplotě ohřeva vyšší než teplota T_c a objemové změny se strukturnimi změnami mohou vyvolávat doplňkové zbytkové deformace a pružnost. To se vyskytuje například u nízkolegovaných ocelí.

Při jejich svařování nastává rozpad austenitu při teplotách nižších než teplota T_c . Proto mohou strukturální změny ovlivnit vlastnosti materiálu v oblastech, ve kterých mohou tyto změny nastat. Například při rozpadu austenitu se mohou vytvořit martenzit, trecoxit nebo perlit, t. j. různé struktury, lišící se svými plastickými a povrchovými vlastnostmi.

Při volbě materiálu pro svařované konstrukce musíme vařit v úvahu jeho svařitelnost, která dle souvisí s chemickým složením materiálu. Podle obsahu uhlíku v materiálu můžeme říci, že u světloujícího se materiálu uhlíku nemá klesá jeho svařitelnost. Ocel je zaručeně svařitelná, jestliže neobsahuje více

než 0,22 % C. Svařitelnost oceli se však posuzuje podle hodnoty ekvivalentního obsahu uhlíku.

$$C_{ekv} = C + \frac{Mn}{6} + \frac{Cr + Mo + V}{7} + \frac{Ni + Cu}{15}$$

/ 1 /

$C_{ekv} \leq 0,5$ ocel záratená svařitelná

$C_{ekv} > 0,5$ ocel podmáčená svařitelná

Na běhoumu je jako materiálu použita uhlíková slitinová ocel třídy 13220, ze které je vyrobena pláště běhoumu a konstrukční uhlíková ocel třídy 11373, které je použito u všech ostatních součástí běhoumu. Chemické složení těchto ocelí je uvedeno v tabulkách č. 1 a č. 2.

Tab. č. 1	C	Mn	Si	Cr	Ni	H	Al
13220	min 0,15	1,3	0,25			0,1	
	max 0,21	1,8	0,50	0,3	0,3	0,02	
	V	Cu	P	S			
	min 0,1						
	max 0,2	0,3	0,04	0,04			

Tab. č. 2	C	P	S
11373	min 0,12	0,05	0,05
	Max 0,22	0,07	0,06

Dosazením do rovnice / 1 / dostáváme pro ocel 13220

$$C_{ekv} = 0,21 + \frac{1,8 + 0,3 + 0,2}{5} + \frac{0,3 + 0,3}{15} = 0,65$$

pro ocel 11373

$$C_{ekv} = 0,22$$

Z vypočtených hodnot vyplývá, že ocel 13220 nemá zaručenou svařitelnost a měl by se u ní při svařování provádět předehřev, který se v současné době při výrobě běhoucí nedělá.

2.4.3. Volba svařových spojů

Ve svařovaných konstrukcích se nejčastěji používají svary tupé, rohové a koutové. Svary v různých svařových spojích se liší tvarem průřezu, polohou a vzhledem ke směru působeního namáhání, charakterem povrchu, velikostí a polohou podél svařované hrany. V závislosti na tvaru povrchu mohou být tupé svary převýšené /viz obr. č. 2/ nebo ploché /viz obr. č. 3/

obr. č. 2



obr. č. 3

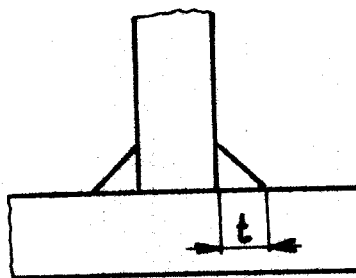


Užívání převládají koutové svary. Tupé svary jsou provedeny pouze u podélného svaru pláště a u kuželů. Vypouklé povrchy tupých svarů vyvolávají koncentraci napětí v přechodech svarů do základního materiálu.

Při návrhu dáváme přednost tupým svarům překliktovými, protože mezi jinými faktory má na shytková pnutí a případné deformace vliv množství, přivedeného do svařového spoje. To znamená, že při dané velikosti spoje stoupá množství přivedeného tepla a plošným průřezem a tupé spoje mají mezi svařovými

plochami menší průřez než koutové svary. U koutových svarů je však menší příčné smrštění než u tupých svarů, protože při svařování je nastavena poměrně menší tloušťka základního materiálu.

Při volbě velikosti svarů musíme dbát na to, aby svar byl dostatečně velký, ale nezmíme jej navrhovat zbytečně veliký, protože s velikostí svarů se nám zvětšují zbytková pnutí a deformace. V tabulce č. 3 jsou uvedeny mezní hodnoty velikostí koutových svarů pro různou tloušťku základního svařovaného materiálu.



Tab. č.3

Tloušťka svař. materiálu [mm]	5	10	15	20	25	30	35	50
t_{min} [mm]	3	4	4	6	6	6	7	9
t_{max} [mm]	6	10	14	18	20	22	26	28

Všechny koutové svary jsou na běhounu provedeny v rozmezí minimálních a maximálních předepsaných velikostí. Při návrhu svarů se snažíme, aby svary byly jednovrstvé a aby se pokud možno nekřížovaly. Pokud se křížují, je vhodné jeden ze svarů přerušit. To u běhounu splněně není, tam se křížují podélný tupý svar na plášti běhounu a koutový svar mezi čely běhounu a pláštěm. Zde by bylo vhodné, aby se koutový svar v místě tupého přerušil.

Na velikost zbytkových pnutí má vliv i délka svaru. Někdy bývá vhodnější místo dlouhých, nepřerušovaných svarů dělat krá-

tké, přerušované ovary. U běhoumu by to vhodné nebylo, protože by docházelo k nepříznivým vrubovým účinkům.

2.4.4. Volba rozměrů a tolerancí

Výroba svařovacích konstrukcí s přesným dodržením rozměrů a tvaru podle výkresu je značně obtížné pro nedostatečnou přesnost konstrukčních dílů určených ke svařování a pro případné nepřesnosti, vznikajících při výrobních operacích. Tyto příčiny nejsou jediné. Značný vliv na přesnost svařovacích konstrukcí mají prutí a deformace, vyvolané svařováním, což jsou objektové znaky vyvolané ohřevem či ochlazováním.

Do běhoumu se při montáži vkládá vibrační čep, který v provozu přenáší vibrační pohyb na běhoun. S běhoum je spojen v nábojích, kde je předepsaná tolerance na průměr 640 mm HB, což odpovídá úchytkám $+0,000$ a $+0,054$. Součest obou čel je předepsaná 0,1 mm. Tyto velice malé toleranční hodnoty na tak velkou konstrukci jsou předepsány proto, že by v případě větších vlivů docházelo při vibračním pohybu k vytlačení náboje běhoumu nebo vibračního čepu a vůle mezi nimi by se značně zvětšovala. Tolerance HB na vnitřních průměrech nábojů bude opětitevná, ale součest mezi oběma náboji, která je 0,1 mm, splněna asi nebude. Také vzdálenost obou čel běhoumu mezi sebou, která je $1162 \pm 1,0$, splněna také asi nebude díky hadicím, které budou vychýlovat čela o náboji směrem ven. Proto tato vzdálenost bude zřejmě větší.

Vhodně zvolené nejsou ani rozměry vnějších průměrů čel k vnitřnímu průměru pláště. Vnější průměr čela je $1546 \pm 1,0$ mm a vnitřní průměr pláště je 1550 ± 4 mm. Mezi čely a pláštěm bude docti veliká vůle, která se při svařování musí zaplnit pří-

davným materiálem. Proto tam bude docházet k velkému snížení a tím i k velikým vnitřním pnutím, případně deformacím. Protože po celkovém svaření běhounu následuje obrábění vnějšího povrchu pláště, cel pláště, vnitřního průměru náboje a vrtání 24 otvorů do náboje a do nich závity M20, lze předpokládat, že tato mechanická obrábění budou mít za následek vznik sekundárních deformací. Právě na velikost sekundárních deformací mají podstatný vliv zbytková pautí a deformace po svařování.

2.4.5. Výbava tepelného spracování

Pro většinu svařovaných konstrukcí v národním podniku Stavostroj se používá říhání k odstranění vnitřních pnutí. Nejinak je tomu v případě běhounu. Říhání se provádí v říhací peci, která je vytápěna sečním plyном na teplotu 630°C . V tomto případě tepelného spracování nedochází k fázovým přeměnám. Probíhající difuze ovlivňuje strukturu tak, že její zrna přeměňují svůj tvar na tvar aerodynamicky nejstabilnější. Přitom se nám uvolňuje zbytková pautí, která nám zůstala ve svařované konstrukci po svaření. Důležité je, aby následovalo postupné ochlazování.

U běhounu je nárast teploty $100^{\circ}\text{C hod}^{-1}$, na teplotě 630°C následuje dvouhodinová prodleva a potom následuje postupné ochlazování rychlostí $100^{\circ}\text{C hod}^{-1}$ do teploty 180°C , po kterém se běhouny z peci vydají a chladnou mimo pec. Říhací teplota 630°C je optimální, ale nárast teploty i její pozvolné klesání se předpisuje $/50 - 60/^{\circ}\text{C hod}^{-1}$. Běhoun je však vyroben z plechu, které nemůže přiliš velikou tloušťku, proto by zvýšení rychlosti ohřevu i ochlazování nemělo být tak velkou chybou.

2.5. ROZBOR TECHNOLOGIE VÝROBY

2.5.1. Technologický postup

Přeanset svařování konstrukce je těž dáná sestavováním jednotlivých dílů konstrukce a postupem svařování. Aby měla svařovaná konstrukce předepsané rozměry, je nutno ji sestavovat sувázením vznikajících deformací, které po svařování nastanou. Jednotlivé díly nelze sestavovat na přesné míry podle výkresu, protože deformace a napětí, vzniklé při svařování, poruší míry a tvary celé konstrukce.

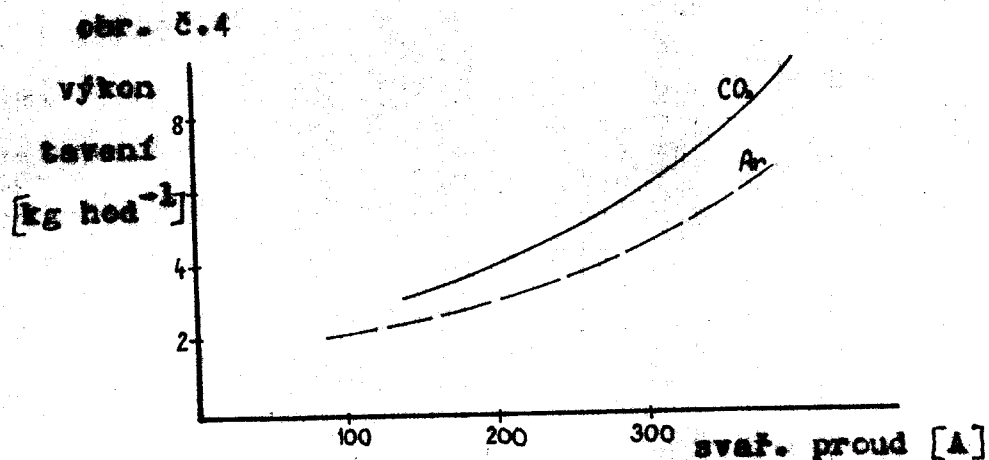
Při výrobě běhouad se nejdříve svaří podélne tupý svar, který spojí oba konce pláště k sobě. Potom se k pláště příčně přiváří koutovým svarom čela s náboji a nakonec se přiváří kužel. Tento postup svařování je z hlediska velikosti zbytkových pružin a deformací nevhodnější. Při montáži svařovaných konstrukcí se vždy snažíme, aby se nejdříve zavařily tupé svary a potom teprve koutové. Jako poslední operace u běhounu se provádí mechanické obrábění na karuselu DKZ 2500. Běhouz se neapoda upne do univerzálního skříidle, nahoře se zarovaň čelo pláště a potom se soustruhí povrch pláště asi do jedné poloviny délky pláště. Dále se soustruhí vnitřní průměr horního náboje. Poté se areál hrany u náboje i u pláště. Běhouz se otočí a vyrovná a soustruhické operace se opakují. Nakonec se do každého z nábojů vytváří 24 otvorů a do nich vyfúkou mírity M20.

Při obrábění povrchu pláště se oddebírá pouze jedna tříška. Pro zvýšení přesnosti běhouna a tím i snížení sekundárních deformací by bylo vhodnější obrábět na dvě třísky. Při tomto spůsobu obrábění se první třískou oddebírá větší tloušťka, než druhou třískou. Bylo by též vhodné, aby se po odbráni první

tlakem během uvnitřního výrovnání, potom znovu upnul a při druhém odebírání tlak se obrobila zbylá část přídavku na obrubení, který by měl být minimální. Protože při druhém obrubení se odstraňoval podstatně menší objem kovu, může být deformace značně menší.

2.5.2. Volba způsobu svařování

Způsob svařování volíme nejen z hlediska konstrukčních vlastností, ale i z hlediska produktivity. Různé metody svařování vytvářejí různé předpoklady pro zlepšení kvality svařované konstrukce. Z hlediska produktivity je svařování holou elektrodou pod ochrannou atmosférou CO_2 nejvýhodnější. Zjištujeme se to podle výkresu tavení elektrody. Na obrázku č. 4 je znázorněný graf vlivu ochranné atmosféry Ar a CO_2 na výkonnost tavení.



Z grafu je zřejmé, že výkon tavení pod ochrannou atmosférou CO_2 je větší než pod Ar, ale je také větší než u svařování pod tavidlem nebo elektrickým obložkem s obalenou elektredou. Je také nutné při měření volby svařování vzít v úvahu i způsob, jakým chceme svařovat. Zda půjde o ruční, poluautomatické nebo

automatické svařování. Pokud to jde, vždy se snažíme o automatické nebo alepočně poloautomatické svařování. Hlavní výhody tohoto směru technického rozvoje jsou

- a/ odstranění lidské náměnné práce
- b/ zajištění vysoké a stejnorodé kvality svařových spojů
- c/ zvýšení produktivity práce

V případě běhoucí se používá automatického svařování pod tavidlem a poloautomatického svařování v ochranné atmosféře CO₂.

Automatického svařování pod tavidlem se používá u běhoucí pouze pro podélný svar pláště. V průběhu svařování je oblouk a jeho okolí zaúpáváno suchým anorganickým tavidlem v dostatečně vysoké vrstvě, takže oblouk je stále zakrytý a neobtížuje okolí oslnivým zářením. Vlastní metalurgický proces probíhá pod tavidlem, které se v blízkosti oblouku a roztaveného kova roztaví a tím nejenže roztavený kov je chráněn proti okolní škodlivé atmosféře vzduchu, ale je též zbaven nečistot.

Charakteristickou vlastností tavidla je, že při jeho tavení nezaujímají téměř žádné plyny. Je to látku podobná tmavému roztavenému sklu, které je za normálních teplot nevodivá. Se stoupající teplotou elektrická vodivost tavidla stoupne a tekutém stavu je tavidlo velmi dobrý vodič. Roztavené tavidlo pokryvá i chladnoucí svar, takže nedochází k tak rychlému ochlazování svaru. V porovnání s jinými druhy svařování se při svařování pod tavidlem do svařového spoje přivádí velké množství tepla. Velkým množstvím koncentrovaného tepla je možno vyrobít velmi důlké a hluboké svary. Jako tavidla je použito u běhoucího tavidla VDS-152 a jako svařovacího drátu drát Al o průměru 5 mm. Svařovací drát dle ČSN 055317 je vhodný pro svařování konstrukčních uhlíkových a nízkolegovaných ocelí o pevnosti nad 480 MPa, což je v tomto případě splněno.

Při svařování pod tavidlem je v restaurování lázení až 2/3 nákladního materiálu, zatím co při svařování obalemou elektrodou je to jen malá část. Z toho vyplývá, že vlastnosti svaru při tomto způsobu svařování se méně ovlivňují přidavným materiálem, než když při svařování obalemou elektrodou. Svařovací drát nelze ještě za studem a dodává se v kotoučích. Jeho chemické složení je uvedeno v tab. č.4.

Tab. č.4

	C	Ni	Si	Cr	Mn	P	S
max	0,71	1,35	0,1	0,15	0,15	0,03	0,03

Podle tvaru určují vlastnosti svaru, jsou na ně kladeny tyto požadavky.

- a/ tavidlo má podporovat stabilitu obalu
- b/ složení tavidla má mít vliv na zlepšení mechanických vlastností
- c/ tavidlo má mít vliv na pěkný vzhled svaru / tvar a povrch/
- d/ tavidlo má nahradit tvorení pěri a trhlin ve svařovém spoji
- e/ vychladnuté tavidlo má být snadno odstranitelné
- f/ tavidlo má být zdravotně bezpečné a levné

Podle chemického složení tavidel je rozdělujeme na zásadité a kyselé

$$K = \frac{SiO_2 + TiO_2}{RO}$$

/2/

RO jsou kysličníky CaO , MgO , MnO .

- | | |
|---------|------------------|
| $K < 1$ | tavidlo kyselé |
| $K > 1$ | tavidlo zásadité |

Pro svařování ohřívavých a níkkelgovaných ocelí je doporučuje $K = 1$. V tabulce č.5 jsou hodnoty chemického složení

tavidla VÚS - 152.

Tab. č.5

	SiO ₂	MnO	CaO	MgO	Al ₂ O ₃	FeO	P	S
min	47	22	8	7				
max	53	28	12	11	5	2,7	0,05	0,05

Dosazeno do rovnice /2/ dostáváme

$$K = \frac{53 + 9}{28 + 12 + 11} = 1,04$$

Z vypočítané hodnoty vyplývá, že tavidlo vyhovuje. Svařuje se výhledně ve vodorovné nebo mírně skloněné rovině, což je v případě běženého dodrženo. Zdrojem střídavého proudu je svařovací polosuštemat WSP 600, který se vyrábí v ZEZ Hořice v Podkrkonoší.

Všechny ostatní svary se provádají polosautomaticky v ochranné atmosféře CO₂ s odtavující se elektrodeou. Tento způsob lze dosáhnout při vysoké kvalitě svaru též minimálně ekonomické výsledky. Tento způsob svařování je také méně citlivýjší na rez, než běžně používané spínací svařování. Lze jím také dosáhnout velkou hloubku průvaru při vysoké kvalitě svaru. Při tomto způsobu svařování nám proud CO₂ vytlačuje z okolí svaru nežádoucí atmosféru vodníku, pokud ho nesvářuje venku za větrného počasí, jinak by kyslíková clona okolo svaru byla poškozena. Rozvod CO₂ je veden z centrálního zásobáku přes redukční ventil s ohříváním a sušením plynu. Při svařování se používá polosautomatické svařovací pistole RU-400, vyroběná v NDR. Kovovou odtavující elektrodu tvoří drát s označením C 113 o průměru 1,6 mm. Jeho chemické složení a některé jeho mechanické hodnoty jsou uvedeny v tab. č.5 a v tab. č.6.

Tab. 3.5

	C	Mn	Si	
C 113	max 0,13	max 1,35	0,8	
	Rm [MPa]	Rm [MPa]	A [%]	KC [$J\cdot cm^{-2}$]

Tab. 3.6

	Rm [MPa]	Rm [MPa]	A [%]	KC [$J\cdot cm^{-2}$]
C 113	440	320	20	70

Tyto hodnoty jsou v předepsaném rozmezí pro svařovací drát při svařování pod CO_2 . Podávací rychlosť svařovacího drátu se nastavuje na konstantní rychlosť. V případě, kdy podávací zařízení elektrody podléhá nerovnoměrné regulaci teploty ohřevu, musí zajistit svařovací zdroj, kterým je v případě běžného stejnosměrného středního svařovacího polocoautomatu SSP 420, příčná elektroda je připojena na záporný pól. Výhodou tohoto způsobu svařování je také fakt, že při svařování není opažen vedenou polohou a proto je vhodný pro montážní účely.

2.5.3. Vliv svařovacích parametrů

Na mechanické vlastnosti svaru, velikost napětí i deformací mají velký význam svařovací parametry. Jedná se především o svařovací rychlosť, proud a napětí. Je nutno volit svařovací parametry / a tím i tepelný cyklus svařování / tak, aby materiál dosáhl požadovanou dobu na určité teplotě, aby se po svařování ochlazoval požadovanou rychlosťí. V některých případech nevhodnou volbou svařovacích parametrů může dojít ke vzniku zakalených mazivratev v ekolí svaru. Ale ani v těch případech, kdy po svařování nedojde k zakalení, nelze volit libovolné parametry. Např. vlivem velké rychlosti svařování může dojít k nedovolení kof-

ne svaru, spolu s rychlým ochlazováním roste tepelný spád. Protože se v okolí svaru zvyšuje tvrdost a tím klesá jeho plasticita.

Při automatickém svařování pod tavidlem je svařovací rychlosť 50 m hod^{-1} , proud 650 A , napětí je 37 V . Výsledkem je velice kvalitní, bladký svar.

Při svařování pod CO_2 je svařovací rychlosť 35 m hod^{-1} , proud 380 A , napětí 36 V . Hodnoty napětí, proudu a rychlosťi svařování určujeme pomocí tepelné mohutnosti, vztážené na 1 mm svaru.

$$Q = \frac{U \cdot I}{1000 \cdot v} \cdot \eta$$

/3/

Snažíme se nevolit tepelnou mohutnost zbytečně velkou, protože při velkých hodnotách tepelné mohutnosti dochází k půstu zrnu, což snižuje plasticitu svaru. Ale nejen to, musí docházet k propalu, případně k vypařování základního materiálu. Velikost tepelné mohutnosti je přímo úměrná tloušťce materiálu. Dosazením hodnot svařovacích parametrů do rovnice /3/ dostaneme hodnotu tepelné mohutnosti pro oba způsoby svařování.

a/ automatické svařování pod tavidlem

$$Q_1 = \frac{37 \cdot 650}{1000 \cdot 15,3} \cdot 0,82 = 1,29 \text{ kW mm}^{-1}$$

$$\eta = 0,72-0,89$$

volím $0,82$

b/ polautomatické svařování pod CO_2

$$Q_2 = \frac{36 \cdot 380}{1000 \cdot 9,73} \cdot 0,76 = 1,07 \text{ kW mm}^{-1}$$

$$\eta = 0,66-0,85$$

volím $0,76$

Z vypočtených hodnot vyplývá, že pro danou tloušťku pláště je tepelná mohutnost vyhovující.

2.5.4. Příprava svarových ploch

Velký vliv na kvalitu svaru má také příprava svarových ploch. Ta je závislá na předmětu, který chceme svařovat. Při návrhu přípravy svarových ploch bychom měli mít zřeteli, jaké síly má přenášet svarový spoj, tloušťku plechů, smrštěvání svařovaných dílů na poloze a přístupnosti svarového spoje. Svařované plechy mají být obrobeny na hladko, aby nevhodným obrobením vzniklé rýhy nebyly příčinou zavaření strusky a tím i vad svaru. Abychom zajistili výrobu kvalitního svaru, musíme mít důkladně čisté svarové plechy. Hlavně rez, mastnota a vlhkost svarových ploch škodi svařování.

Běhoun je vyroben vesměs z válcovaného plechu a jednotlivé díly se zhotovují řezáním kyslikoacetylénovým plamenem. Řezací stroj RS 51 je řízený fotoelektricky podle šablony. Proto u koutových svarů není třeba dále plochy upravovat. U tupého spoje na plášti se svarové plochy upravují broušením, a to proto, že svar se provádí pod tavidlem, kde je zvláště třeba dbát, aby svarové plochy byly čisté a hladké. Užel běhounu se provádí úkos pod úhlem 40° a u kužele pod úhlem 30° .

3. EXPERIMENTÁLNÝ ČÁST

3.1. Metody pro posouzení srovnatelnosti tepelného spracování náboje

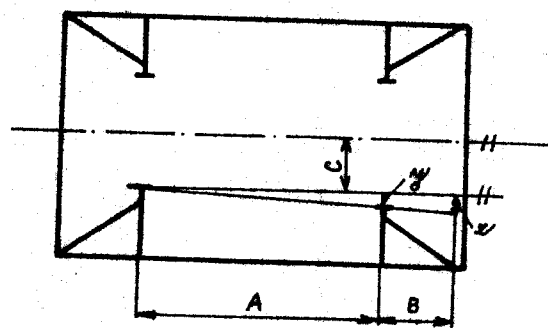
Jak vyplývá jist z předešlých kapitol, tepelné spracování během před obráběním se provádí kvůli tomu, že by jinak mohly vzniknout nevhodná předepsaná rozměrová tolerance a při konzervaci vibrálního válce VV 100 mají dojít do během vibrací čep.

Jako nejdůležitější tolerance poslední současnosti máloji během, která je předepsána $0,1 \text{ mm}$ a hrubovitost máloji, která je na průměr 640 mm předepsána II.

3.1.1. Měření současnosti máloji běhemu

Princip měření je znázorněn na obr. č. 5.

obr. č. 5



Měřil jsem po 90° a na úhylkomáru jsem odečítal hodnotu x. Protože znám vzdálenosti A a B, z podobnosti trojúhelníku mohu spočítat hodnotu y, která odpovídá velikosti výosení obou máloji. Jako pomocky jsem použil ocelového pravítka o délce 2 m.

Tab. č.7

Úhel	A [mm]	B [mm]	C [mm]	x [mm]	y [mm]
90°	1162	776	640,00	1,84	1,104
180°	1162	776	640,00	-5,30	-3,18
270°	1162	776	640,00	-2,11	-1,266
360°	1162	776	640,00	5,73	3,438

Z uvedených hodnot je zřejmé, že předepsaná výkylka současti nábojů 0,1 mm splňuje nemí, protože maximální naměřená a vypočítaná výkylka je 3,438 mm.

3.1.2. Měření kruhovitosti nábojů běhemu

Kruhovitost nábojů jsou měřil na karuselu DKZ 2500. Běhemu byl snopoda upnut do skříňidle a dvojkolový byl uchycen v suportu stroje. Po měření jednoho náboje se běhemu otáčil a měření se opakovalo u druhého náboje.

Náboj č.1

Tab. č.8

Úhel	45°	90°	135°	180°	225°	270°	315°	360°
Výkylka [mm]	3,98	4,17	3,96	3,77	3,93	4,15	3,94	3,72

Náboj č.2

Tab. č.9

Úhel	45°	90°	135°	180°	225°	270°	315°	360°
Výkylka [mm]	4,53	4,69	4,21	4,49	4,52	4,67	4,54	4,24

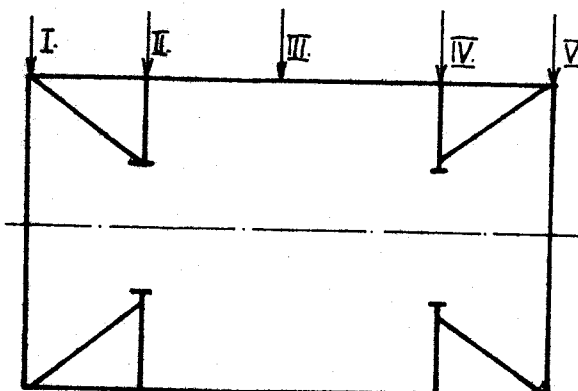
Z uvedených hodnot vyplývá, že předepsané tolerance u ne-vyššího běhemu splňují nejsou. Je to způsobeno dvěma pozem-

nými otvory, vyvrtnými do čela běhounu. Protože čela běhounu jsou namáhaná na tah od velkých zbytkových prutí po svařování, vyrtáním obou otvorů do čela se nám poruší vlákna, proto u nábojů pod odvrtnými otvary vznikají nejmenší výchylky.

3.1.3. Měření kruhovitosti pláště běhounu

Jako další měření jsem provedl kontrolu kruhovitosti u 3 neobroběných, nejprve u nevyžíhaných a potom u vyžíhaných běhounů. Při měření nevyžíhaných běhounů jsem měřil hodnoty v těch samých místech, jako u vyžíhaných běhounů. Důvodem bylo to, abych zjistil, zda se při žíhaní projeví nějaké deformace. Měření jsem prováděl na karuselu DKZ 2500, běhouny byly každeho upnuty ve středníku a hodnoty jsem měřil posuvným měřítkem od počátku dorazu, který byl ve vzdálenosti 800 mm od osy běhounu. Měření jsem prováděl po 30° v místech, naznačených na obr. č. 6.

Obr. č. 6



3.1.3.1. Měření kruhovitosti pláště nevyklikaných během

Tab. č.10 Během č.1

Úhel	30°	60°	90°	120°	150°	180°	210°	240°	270°	300°	330°	360°
I	2,5	3,2	5,8	4,6	-1,9	-2,0	-0,7	-4,7	-2,3	-1,2	5,1	3,7
II	3,0	5,7	6,9	8,0	8,9	6,4	2,1	-2,3	-6,8	-9,2	-6,9	-5,7
III	2,9	9,8	9,1	9,7	10,3	3,0	-2,7	-3,6	-8,1	-9,9	-7,0	-8,9
IV	8,4	12,5	8,4	8,7	11,6	4,7	-7,2	-6,0	-9,6	-9,2	-8,0	-3,1
V	8,6	9,4	10,8	5,2	-4,7	-9,0	-8,9	-6,4	-4,1	-0,4	6,7	10,4

Tab. č.11 Během č.2

Úhel	30°	60°	90°	120°	150°	180°	210°	240°	270°	300°	330°	360°
I	7,2	-1,3	-3,6	-3,8	1,1	3,4	3,0	-1,3	-2,7	3,1	6,8	9,1
II	2,8	0,2	-1,1	0,9	-0,3	0,3	-1,4	-1,7	1,9	1,2	5,3	2,8
III	3,1	1,4	1,3	-0,8	0,3	1,2	2,1	2,4	1,1	0,8	2,6	3,1
IV	1,2	2,3	3,4	2,2	4,1	3,8	2,3	-4,0	-3,6	-2,1	3,8	1,4
V	-6,0	-2,1	1,4	5,3	6,4	3,1	1,2	-4,2	-4,5	-4,9	-3,2	-7,3

Tab. č.12 Během č.3

Úhel	30°	60°	90°	120°	150°	180°	210°	240°	270°	300°	330°	360°
I	4,8	-2,3	-1,4	1,2	1,1	-2,1	2,3	4,7	0,8	3,7	6,2	5,8
II	-2,7	-3,1	-6,2	2,3	-1,4	-3,6	2,3	5,2	1,8	3,2	2,1	-3,8
III	3,2	4,4	0,1	-0,7	1,9	-2,1	1,2	3,7	2,8	-0,7	-5,4	-4,8
IV	4,7	3,8	-3,4	1,9	-1,8	-2,3	-3,1	-1,8	-2,8	1,0	0,3	0,1
V	1,8	-2,4	-6,1	3,1	0,9	-3,9	2,1	-1,6	-2,7	-3,6	-1,1	-2,1

3.1.3.2. Měření kruhovitosti pláštů vyžívaných běhounů

Tab. č.13

Běhoun č.1

Úhel	30°	60°	90°	120°	150°	180°	210°	240°	270°	300°	330°	360°
I	5,3	5,8	8,1	4,2	-3,1	-2,8	-1,6	-2,4	-1,3	0,6	1,7	3,1
II	3,2	6,7	7,4	5,1	-2,1	-4,1	-4,2	-6,3	-2,1	-6,1	-0,2	0,1
III	6,7	6,3	11,2	4,7	1,1	1,3	-5,3	-8,9	-7,1	-6,7	1,7	11,4
IV	9,1	6,8	8,1	10,2	-4,3	-6,1	-6,0	-5,3	-6,3	-4,2	3,8	9,3
V	6,8	7,3	9,4	7,5	-3,1	-6,8	-7,9	-7,1	-2,1	1,8	6,9	9,4

Tab. č.14

Běhoun č.2

Úhel	30°	60°	90°	120°	150°	180°	210°	240°	270°	300°	330°	360°
I	3,2	-2,8	-3,5	-3,9	-1,4	1,8	0,9	0,4	-1,2	-1,8	1,4	3,1
II	1,8	1,3	0,7	-1,7	3,2	4,2	-2,3	-5,9	-6,1	-4,1	3,2	0,4
III	5,4	3,2	5,2	1,6	2,4	2,3	0,2	0,4	2,5	-1,6	2,9	3,3
IV	2,8	-1,1	0,8	1,4	2,7	1,6	-1,8	-3,2	-0,9	1,8	2,3	4,3
V	-6,4	-4,3	-3,8	2,9	7,2	5,0	6,2	-2,2	-1,4	-0,8	-1,4	-5,2

Tab. č.15

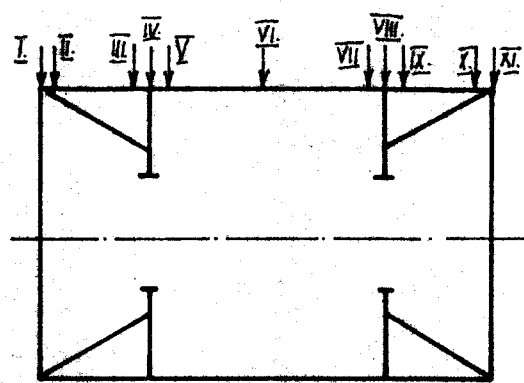
Běhoun č.3

Úhel	30°	60°	90°	120°	150°	180°	210°	240°	270°	300°	330°	360°
I	2,3	-3,4	-1,8	3,8	4,3	0,0	3,1	1,8	4,3	3,8	4,1	3,7
II	2,8	-0,3	-3,2	4,1	0,3	-0,8	3,6	2,5	4,8	2,7	3,8	2,9
III	2,6	7,3	2,8	2,7	3,5	3,6	-2,1	-7,0	-2,6	2,8	1,6	0,2
IV	2,0	1,8	-1,1	-0,7	-1,0	-2,7	-1,6	-6,3	-2,8	-0,2	-2,6	-0,5
V	0,1	-0,9	-2,6	-1,8	-2,4	-3,1	0,2	0,2	-1,6	-1,3	1,3	0,4

3.1.4. Měření podtlaků nerovností pláště běhoucí

Měření podtlaků nerovností pláště běhoucí jsou prováděly proto, abych bylo zjistit, adž došlo v místech kontaktu k deformacím nebo na. Měřil jsou v místech kontaktu každé s dál běhoucí k pláště a ve vzdálenostech 10 mm od kontaktu a uprostřed pláště dle obr. č. 7. Měřil jsou pomocí osciloskopu provizorně, tloušťka 2 m, které jsou přiléhají k pláště a posunutím měřítka jsou odčítány současně hodnoty.

Obr. č. 7



3.1.4.1. Měření podtlaků nerovností pláště novýběhých běhoucích

Tab. č. 16

Běhoun č. 1

Místo č.	I	II	III	IV	V	VI	VII	VIII	IX	X	XI
90°	1,3	1,1	1,0	1,3	1,2	0,3	0,4	0,4	0,2	1,0	1,
180°	1,3	1,3	1,4	1,8	1,7	0,5	0,9	1,2	1,0	1,2	1,
Uhel											
270°	1,5	1,0	1,0	1,2	0,9	0,1	0,9	1,1	0,7	1,5	1,
360°	1,1	0,7	0,9	1,2	1,1	0,1	1,1	1,1	0,8	0,4	0,

Tab. č. 17

Běhoun č. 2

Místo č.	I	II	III	IV	V	VI	VII	VIII	IX	X	XI
číslo	90°	1,4	1,1	1,0	1,4	1,3	0,3	0,3	0,4	0,4	0,8
	180°	1,6	1,5	1,1	1,6	1,4	0,6	1,5	2,0	1,8	1,1
	270°	0,9	0,7	1,1	1,5	1,3	1,1	1,7	2,4	1,9	2,0
	360°	1,1	0,7	0,9	1,2	1,1	0,1	1,1	1,1	0,8	0,4

Tab. č. 18

Běhoun č. 3

Místo

Místo č.	I	II	III	IV	V	VI	VII	VIII	IX	X	XI
číslo	90°	0,7	0,6	0,7	1,2	1,0	0,2	1,6	2,3	1,9	0,7
	180°	0,9	0,8	1,3	1,4	0,9	0,3	1,0	1,3	1,2	0,7
	270°	0,9	0,7	1,4	1,5	1,3	0,7	1,5	1,7	1,1	1,3
	360°	1,9	1,7	1,4	1,8	1,7	0,6	1,1	1,3	1,3	1,7

3.1.4.2. Měření podkladového výkonu vykášaných běhounů

Tab. č. 19

Běhoun č. 1

Místo č.	I	II	III	IV	V	VI	VII	VIII	IX	X	XI
číslo	90°	0,9	0,7	0,7	0,7	0,9	0,6	0,7	0,5	0,6	1,3
	180°	0,8	0,7	1,2	1,3	1,0	1,2	1,4	1,6	1,6	1,0
	270°	0,7	0,6	0,8	1,0	0,9	0,6	1,1	1,2	1,0	0,7
	360°	0,1	0,1	0,8	1,1	1,1	0,6	1,5	1,7	1,4	0,8

Tab. č. 20

Během č. 2

Úhel č.	I	II	III	IV	V	VI	VII	VIII	IX	X	XI
90°	0,4	0,3	0,9	0,7	0,7	0,2	1,0	1,1	1,1	0,8	0,9
180°	0,6	0,5	0,3	0,5	0,4	0,1	1,8	2,1	1,6	1,5	1,7
Úhel											
270°	0,6	0,6	0,7	0,8	0,6	0,6	1,1	1,3	1,1	0,7	0,8
360°	1,2	1,0	0,5	0,6	0,3	0,4	0,9	1,2	0,8	1,0	2,1

Tab. č. 21

Během č. 3

Úhel č.	I	II	III	IV	V	VI	VII	VIII	IX	X	XI
90°	0,9	0,4	1,3	1,7	1,4	0,2	1,1	1,3	0,9	1,8	2,0
180°	0,9	0,8	1,3	1,3	1,1	0,3	1,6	1,8	1,6	1,2	1,3
Úhel											
270°	0,3	0,2	0,9	1,1	1,0	0,0	0,9	1,0	0,8	1,4	1,6
360°	1,8	1,5	1,1	1,3	1,2	0,1	0,4	0,5	0,5	1,0	1,2

3.3.5. Měření vzdálenosti Cel během č.

Toto měření jsem provedl proto, abych ujistil, zda předpokládám správné předpovídání rychlosti je vodotryf. Měřil jsem se obrovskou novým během č. Měřilo pročku jsem použil vysokofrekvenční metru, jehož délka byla 1080 mm.

3.3.5.1. Měření vzdálenosti Cel u plného během č.

Tab. č. 22

Úhel	90°	180°	270°	360°
Vzdálenost [mm]	1161,8	1160,6	1162,0	1161,3

3.1.5.2. Měření vzdálenosti čel v různých polohách

tab. č.23

Úhel	90°	180°	270°	360°
Vzdálenost [mm]	1169,5	1169,4	1173,2	1170,1

Z uvedených hodnot výjimečně, že předepsaný rozdíl
 $1162 \pm 1,0$ mm splnil maxim.

4. REALIZAČNÍ SLEZICE PRO NAVRHOVÁNÍ SVAŘOVANÝCH KONSTRUKCÍ

1. Svařovacou konstrukci navrhovat kompletně s technologií výroby
2. Volit dobré svařitelný materiál
3. Nevolit příliš velkou tloušťku stěn svařovaných spojů
4. Pokud možno, svařy umisťovat do míst, které jsou silněji než
více namáhaný
5. Navrhovat pokud možno jen tuhé svařy
6. Vyhýbat se koutovým nebo rohovým svařím, vzhledem k svařo-
vací konstrukce nejménší trubkový dílnek
7. Navrhovat svařy tak, aby k nim byl dobrý přístup
8. Nevolit zbytečně volné svařy
9. Dávat přednost automatickým nebo polautomatickým způsobům
svařování před ručním
10. Vyhýbat se dležejn, neperfurovaným svařím, hlavně koutovým
11. Navrhovat svařy tak, aby byly pokud možno co nejlépejší/z hlediska
pripravy svařových ploch nebo svařovacích přípravků/
12. Navrhovat takový způsob svařování, aby zhotovení kvalitativně
bylo co nejprodiktivnější
13. Zvolit optimální svařovací parametry
14. Svařovacou konstrukci nenavrhovat zbytečně přesnou
15. Nepředepsarovat zbytečně mechanické obrábění po svařování
16. Pokud se bude svařování konstrukce mechanicky obrábět, volit
co nejménší přídavnky na obrábění.

5. ZÁVĚR

Z následujících hodnot vyplývá, že předepsané rozdílové tolerančce u novýtěžených obroběných běhoumů majíce dodrženy vlivem deformací, které vznikly při svařování a při mechanickém obrábění běhoumu. Hlavními příčinami těchto deformací jsou velké výležnosti čely a pláště běhoumu při jejich svařování. Dechází ke snížení svařování a tím i vzniku zbytkových prutí, které jsou veliké, neboť při měření podélné nerovnosti pláště vyšlo najavo, že plášť běhoumu je v místech svaří deformovaný až o 2,9 mm.

Další příčinou vzniku deformací je nepřesné kruhovitost pláště, proto při obrábění povrchu pláště nám někdy oděbirá místo velkou trásku, ale místy sňatávají na povrchu pláště neobroběné plochy. Deformace, vzniklé po svařování, nám světluji deformace vznikající mechanickým obroběním a protože deformace vzniklé mechanickým obroběním nejsou stejné po celém obvodu pláště vlivem nestejně velké oděbirání trásky. Proto za současných podmínek je nutno během řízení k odstranění zbytkových prutí. Velikost řízení teploty / 630°C / je vhodná, ale rychlosť ohřevu i ochlazování by měla být $60^{\circ}\text{C hod}^{-1}$ a ne $100^{\circ}\text{C hod}^{-1}$.

Odstranit zbytkové prutí by se však dalo, ale muselo by se změnit jejich konstrukční řešení. Bylo by vhodné zosavit tloušťku pláště tak, aby se nemusely konci pláště vyztužovat kruhy a světlit tloušťku nábojů. Velikost zbytkových prutí by byla možná větší, ale deformace budou určitě menší a je rozumný předpoklad, že část zbytkových prutí by se odstranila vlivem vibrálního pohybu běhoumu. Dále je třeba posoudit, zda obrábění povrchu pláště běhoumu je opadatelné, protože po

ochranného povrchu pláště na běhemu odstavenou nechrobend místě,
která se tam nechávají.

Bylo by tedy ekonomicky výhodné, aby se tepelné zpracování u běhemu odstranilo, protože ušetření energie, vytomě
případě zemní plyn, by se určitě daleko vyplít na důležitější
věci. Nás stát má díky Sovětském svazu zemního plynu doce-
tak, ale zbytočně pálit energii si dnes nesmí dovolit žád-
ej stát na světě. Společenský význam této diplomové práce ur-
čuje mě, protože zabývat se ušetřením energie, ale nejen jí,
je jedním z prvních drahých zdrojů národního hospodářství.

6. POUŽITÁ LITERATURA

/ 1 / Oberblom N.V. et

Konstrukční technologie pro
jektování svákových konstrukcí
SNTL, Praha 1971.

/ 2 / Čebalka J. et

Mechanická technologie.
SAV, Bratislava 1967

/ 3 / Mrkvíček J. et

Zpracování oceli.
Alfa, Bratislava 1979

/ 4 / KFZ V. et

Pracovní v kvalitativním zpracová-
vání. SNTL, Praha 1962

/ 5 / kolektiv:

Technologické svákové kon-
strukce - tepelné zpracovanie
staveb. ČSFTB, Bratislava 1976

/ 6 / Flechyš - Smil:

Mechanizované zářadenie na
střílenou svákové výroba v ochranných
stavebních. Alfa, Bratislava
1979

7. SKEZAS PŘÍLOHA

průřez č.:

1. kruhovitost běhounu č.1 v místě I
2. Kruhovitost běhounu č.1 v místě II
3. Kruhovitost běhounu č.1 v místě III
4. Kruhovitost běhounu č.1 v místě IV
5. Kruhovitost běhounu č.1 v místě V
6. Kruhovitost běhounu č.2 v místě I
7. Kruhovitost běhounu č.2 v místě II
8. Kruhovitost běhounu č.2 v místě III
9. Kruhovitost běhounu č.2 v místě IV
10. Kruhovitost běhounu č.2 v místě V
11. Kruhovitost běhounu č.3 v místě I
12. Kruhovitost běhounu č.3 v místě II
13. Kruhovitost běhounu č.3 v místě III
14. Kruhovitost běhounu č.3 v místě IV
15. Kruhovitost běhounu č.3 v místě V

— — — průřez běhounu v místech 1:10

— — — tvor plstné běhounu před zřízením

— — — tvor plstné běhounu po zřízení

Následující výkresy jsou do grafu naneseny

v místech 1:1.

**zavření akci profesevce Ing. Bohumila Šimůnka se zavádě
zdejší a případně jiné Bohemus vzdělávací dílny.**

7 listopad 22.9.1982

Jan Tondra